

## I-13 選点法による円板の非線形曲げ解析

北海道大学工学部

正会員 苗村 仁

北海道大学工学部

正会員 三上 隆

北海道開発コンサルタント 正会員 工藤 浩史

1.はじめに 円板の大たわみの問題は、非線形微分方程式で記述される非線形境界値問題であり、その解を厳密に求めることは不可能に近く、通常はRitz法、振動法および差分法、有限要素法に代表される数値計算手法によらなければならぬ。本報告は、選点の取り方によっては解の高精度化および未知数の減少などの利点を有する選点法を円板の幾何学的非線形問題に適用し、その有効性の確認を目的としたものである。さらに、円板の大たわみ問題の一解析的手法として、簡便性からしばしば用いられるBergerの方法<sup>1)</sup>の妥当性について、数値計算を通じて検討したものである。

2.基礎方程式

等分布荷重を受け、等方等質な一様な厚さの円板の支配方程式は、von Kármánによる板の大変形理論によれば次のように与えられる。<sup>2)</sup>

$$\rho^2 \frac{d^2 \psi^*}{dp^2} + p \frac{d\psi^*}{dp} - \psi^* + \frac{1-v^2}{2} p \left( \frac{dW^*}{dp} \right)^2 = 0 \quad (1)$$

$$\rho^3 \frac{d^4 W^*}{dp^4} + 2\rho^2 \frac{d^3 W^*}{dp^3} - p \frac{d^2 W^*}{dp^2} + \frac{dW^*}{dp}$$

$$-12 \left( \frac{a}{h} \right)^2 p^2 \left( \frac{dW^*}{dp} \frac{d\psi^*}{dp} + \psi^* \frac{d^2 W^*}{dp^2} \right) = p^3 p \quad (2)$$

ただし、 $p = r/a$ ,  $W^* = w/a$ ,  $p = \theta a^3/\vartheta$   
 $\psi^* = (1-v) \psi / Eh a$ ,  $r$  = 半径方向座標,  $a$  = 半径,  $W$  = 变形量,  $\vartheta$  = 荷重強度,  $\vartheta$  = 板剛性  
 $v$  = ポアソン比,  $E$  = 弾性係数,  $h$  = 厚さ。 $\psi$  は半径方向応力  $N_r$ , 周方向応力  $N_\theta$  と次の関係式が成立する応力関数である。

$$N_r = \psi / r, \quad N_\theta = d\psi / dr \quad (3)$$

数値解で考慮した境界条件 ( $p=1$ ) は次のようなものである。

Rigidly clamped edge (半径方向に動かない周)

$$W^* = \frac{dW^*}{dp} = 0, \quad p \frac{d\psi^*}{dp} - v \psi^* = 0 \quad (4.a)$$

Loosely clamped edge (半径方向に動く周)

$$W^* = \frac{dW^*}{dp} = \psi = 0 \quad (4.b)$$

Hinged edge (半径方向に動かす周)

$$W^* = 0, \quad p \frac{d^2 W^*}{dp^2} + v \frac{dW^*}{dp} = 0, \quad p \frac{d\psi^*}{dp} - v \psi^* = 0 \quad (4.c)$$

Simply supported edge (半径方向に動く周)

$$W^* = \psi^* = 0, \quad p \frac{d^2 W^*}{dp^2} + v \frac{dW^*}{dp} = 0 \quad (4.d)$$

以下では、式(4.a)～(4.d)で規定される境界条件を示され、R.C., L.C., H.H. およびS.S.と略記する。

円板の中央 ( $p=0$ ) で成立する条件は次式である。

$$\frac{dW^*}{dp} = \rho^3 \frac{d^3 W^*}{dp^3} = \psi^* = 0 \quad (5)$$

3.定式化

未知実数  $W^*$  と  $\psi^*$  を次のべき級数で仮定する。

$$W^* = \sum_{i=1}^{M+4} a_i p^{i-1}, \quad \psi^* = \sum_{i=1}^{M+2} b_i p^{i-1} \quad (6)$$

ここで、 $a_i, b_i$  = 未知係数,  $M$  = 内部選点数

式(5)に含まれる  $2M+5$  個の未知係数を定めるための条件式は、支配方程式(1), (2)の内部選点  $p_i$  ( $i=1 \sim M$ ) における残差条件 ( $2M$  個) および式(4)と式(5)から得られる 6 個の条件で与えられる。その際、式(1), (2)に現われる導関数を、 $p=0, 1$  および内部選点における実数値 ( $W^*, \psi^*$ ) で表わし、考察している問題で内部選点における実数値を未知量とする連立方程式で表わす。また、得られる方程式系は非線形なので、次の手順で逐次近似解を求める。1ステップにボリューム支配方程式(1), (2)を次のように表わす。

$$p^2 \left( \frac{d^2 \psi^*}{dp^2} \right)_j + p \left( \frac{d\psi^*}{dp} \right)_j - (\psi^*)_j + \frac{1-v^2}{2} p \left( \frac{dW^*}{dp} \right)_j \left( \frac{dW^*}{dp} \right)_{j-1} = 0 \quad (1)'$$

$$p^3 \left( \frac{d^4 W^*}{dp^4} \right)_j + 2p^2 \left( \frac{d^3 W^*}{dp^3} \right)_j - p \left( \frac{d^2 W^*}{dp^2} \right)_j + \left( \frac{dW^*}{dp} \right)_j \\ -12 \left( \frac{a}{h} \right)^2 p^2 \left[ \left( \frac{d\psi^*}{dp} \right)_j \left( \frac{dW^*}{dp} \right)_{j-1} + (\psi^*)_j \left( \frac{d^2 W^*}{dp^2} \right)_{j-1} \right] = p^3 p \quad (2)'$$

(A) 第1ステップ ( $j=1$ )

式(2)'の下線部分を無視して、線形解 $\{W_j\}_1$ を次式より求める。

$$[K]_1 \{Sg_j\} = \{Fg_j\} \quad \dots \dots \dots (7)$$

ここで、 $[K]_1 = (M \times M)$  の係数ストリップス、 $\{Fg_j\} = (M \times 1)$  の荷重ベクトル、 $\{Sg_j^T\} = \{W^*(P_1), W^*(P_2), \dots, W^*(P_M)\}$ 。

(b) 第2ステップ ( $j \geq 2$ )

近似解 $\{Sg_j\}_1$ を式(2)'の下線部分に用いて、式(1)', 式(2)'より第2近似解 $\{Sg_j\}_2$ を次式より求める。

$$[K]_j \{Sg_j\}_2 = \{Fg_j\} \quad \dots \dots \dots (8)$$

ここで、 $[K]_j = (2M \times 2M)$  の係数ストリップス、

$\{Fg_j\}_j = (2M \times 1)$  の荷重ベクトル、

$\{Sg_j^T\} = \{W^*(P_1), W^*(P_2), \dots, W^*(P_M), \psi^*(P_1),$

$\psi^*(P_2), \dots, \psi^*(P_M)\}$

以下、第2ステップの手順と所要の精度の解が得られるまで繰り返す。その際、次式を用いて解の収束を早める。<sup>4)</sup>

$$\{Sg_j\} = (1 - \beta) \{Sg_{j-1}\} + \beta \{Sg_j\} \quad (j \geq 2) \quad \dots \dots \dots (9)$$

ここで、 $\beta$  = 加速係数。

#### 4. 数値計算例

オアソン比 $\nu = 0.3$ とし、式(9)の加速係数 $\beta$ は種々の荷重強度および境界条件に対する計算結果より判断して、 $\beta = 0.75$ とした。この値で十数回の繰り返し演算で収束解が得られる。解の収束判定は次式によった。

$$|(W_0)_j - (W_0)_{j-1}| / |(W_0)_{j-1}| < 10^{-8} \quad \dots \dots \dots (10)$$

ここで、 $W_0$  = 円板中央でのたわみ。

##### (1) 選点の取り方の解の精度に及ぼす影響

表-1は、内部選点に shifted Legendre 多項式の零点 (L-選点) × shifted Chebyshev 多項式の零点 (C-選点) を用い、数種の内部選点数 $M$  (= 6 ~ 11) による条件 R.C. の板中央のたわみ ( $W_0$ ) を示したものである。表の各ブロックで、上段の数値は L-選点、下段のそれは C-選点の結果である。これによると、L-選点の結果は内部選点数 $M$ および荷重強度  $\nu A^4/Eh^4$  によらず一定値を示し、一方 C-選点の結果は、内部選点数が大きくなれば

L-選点の結果と一致するが、内部選点数が小さい場合または荷重強度が大きくなれば精度は幾分悪くなる。以下では、L-選点、 $M = 11$  を採用する。

##### (2) 摂動解との比較

図-1は、条件 R.C. の板中央におけるたわみ  $W_0$  を摂動解(第1近似)<sup>2)</sup> と比較したものである。本解析結果と第1近似摂動解は、荷重強度の小さく領域ではほぼ完全に一致しているが、荷重強度が大きくなるにつれて、両者の差が大きくなる傾向にある ( $\nu A^4/Eh^4 = 30$  で誤差 2 %)。図には参考のために、第2近似摂動解も併記した。これによれば、第2近似摂動解は本解析結果により近いものとなっている ( $\nu A^4/Eh^4 = 30$  で誤差 0.9 %)。なお、各摂動解は次式より求められる。

##### 第1近似摂動解<sup>2)</sup>:

$$\frac{\nu A^2}{Eh^4} = 5.86089 (W_0/h) + 3.19788 (W_0/h)^3 \quad \dots \dots \dots (11.a)$$

##### 第2近似摂動解:

$$\begin{aligned} \frac{\nu A^2}{Eh^4} &= 5.86089 (W_0/h) + 3.19788 (W_0/h)^3 \\ &+ 0.22514 (W_0/h)^5 \end{aligned} \quad \dots \dots \dots (11.b)$$

図-2は、条件 R.C. の板周辺における半径方向載荷力  $\sigma_r^m$  × 曲げ応力  $\sigma_r^b$  を摂動解と比較したものである。

これによると、手法の相違の解に及ぼす影響はたわみの場合に類似であることがわかる。摂動解を表示すれば以下となる。

##### 第1近似摂動解<sup>2)</sup>:

$$\begin{aligned} \frac{\sigma_r^m A^2}{Eh^2} &= 0.97619 (W_0/h)^2 - 0.029026 (W_0/h)^4 \\ \frac{\sigma_r^b A^2}{Eh^2} &= 2.85714 (W_0/h) - 0.48079 (W_0/h)^3 \end{aligned} \quad \dots \dots \dots (12.a)$$

##### 第2近似摂動解:

表-1 選点の取り方の解( $W_0/h$ )に与える影響

$\nu A^4/Eh^4$	$W_0/h$					
	$M=6$	$M=7$	$M=8$	$M=9$	$M=10$	$M=11$
5	0.6796	0.6796	0.6796	0.6796	0.6796	0.6796
	0.6796	0.6796	0.6796	0.6796	0.6796	0.6796
10	1.0520	1.0520	1.0520	1.0520	1.0520	1.0520
	1.0518	1.0520	1.0520	1.0520	1.0520	1.0520
20	1.4938	1.4938	1.4938	1.4938	1.4938	1.4938
	1.4932	1.4937	1.4938	1.4938	1.4938	1.4938
30	1.7862	1.7862	1.7862	1.7862	1.7862	1.7862
	1.7850	1.7860	1.7862	1.7862	1.7862	1.7862
40	2.0115	2.0115	2.0115	2.0115	2.0115	2.0115
	2.0097	2.0112	2.0115	2.0115	2.0115	2.0115
50	2.1980	2.1980	2.1980	2.1980	2.1980	2.1980
	2.1954	2.1975	2.1979	2.1980	2.1980	2.1980

Roots of shifted Legendre polynomial  
Roots of shifted Chebyshev polynomial

$$\sigma_r^m \alpha^2 / Eh^2 = 0.47619 (W_0/h)^2 + 0.03164 (W_0/h)^4 - 0.001301 (W_0/h)^6$$

$$\sigma_r^b \alpha^2 / Eh^2 = 4.39560 (W_0/h) + 1.71270 (W_0/h)^3 - 0.003722 (W_0/h)^5 \quad (12.b)$$

### (3) Berger理論の妥当性の検討

円板に対する Berger の支配方程式は次のようである。<sup>1)</sup>

$$\nabla^4 w - \alpha^2 \nabla^2 w = g/\rho \quad (13)$$

$$\text{ここで, } \nabla^2 = d^2/dr^2 + 1/r dr \quad (14), \quad \alpha^2 = (12/h^2) \{ du/dr + u/r + (dw/dr)^2/2 \} \quad (15)$$

Bergerの方法は、半径方向ひずみと円周方向ひずみの和に相当する  $\alpha^2$  が曲げらわ板の中央曲面中で定数を保つもと仮定し、定数  $\alpha^2$  とともに式(13)の積分定数を板の境界上で規定されたすべての条件を満たすようにするものである。

さて、Bergerの方法を可動周の円板(L.C. および S.S.)に適用すれば、解の信頼性が失われることが知られていく。<sup>5)</sup> 図一3は、再確認の意味で、条件 R.C. および L.C. の場合の板中央のたれ  $W_0$  を、本解析法と Berger の方法により求め比較したものである。図より明らかに、両手法の差は、周方向に働く条件(L.C.) および荷重強度が大きくなる程、著しくなっている(条件 S.S. および H.H. の場合も同様である)。

図一4および図一5はこれぞれ、条件 R.C., L.C. および条件 H.H., S.S. に対して、Berger理論で用いられる第1不変量  $\alpha^2$  (式(15)) の値を本解析法により得られる結果に基づき算定し、その半径方向  $\alpha$  の変化を示したものである。これによると、条件 R.C. および H.H. に対しては、 $\alpha^2$  は荷重強度によらず正の値を示すが、荷重強度が大きくなれば一定とはいひ難い。一方条件 L.C. および S.S. に対しては、荷重強度によらず  $\alpha^2$  の値は正、負の値をとり、Berger 理論における第1不変量  $\alpha^2$  の仮定が成立しない分布形狀になっている。

### 5.まとめ

本報告は、円板の幾何学的非線形問題に対する選点法の適用可能性を検討するとともに、提示した手法を用い

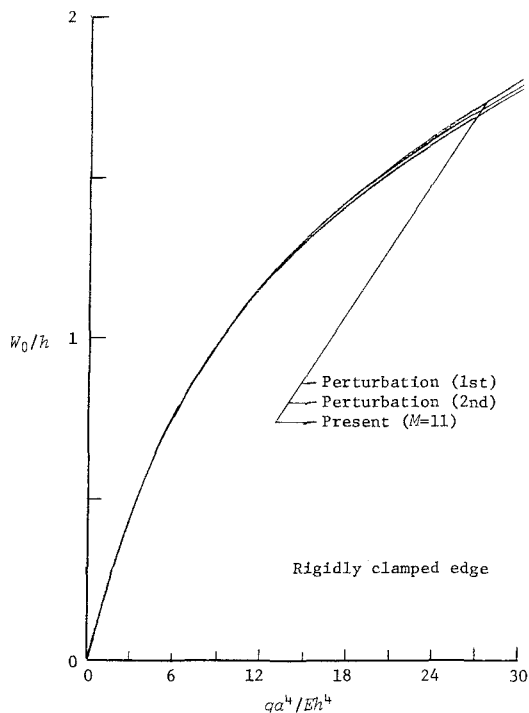


図-1 本解析結果と振動解の比較(板中央の  $W_0$ )

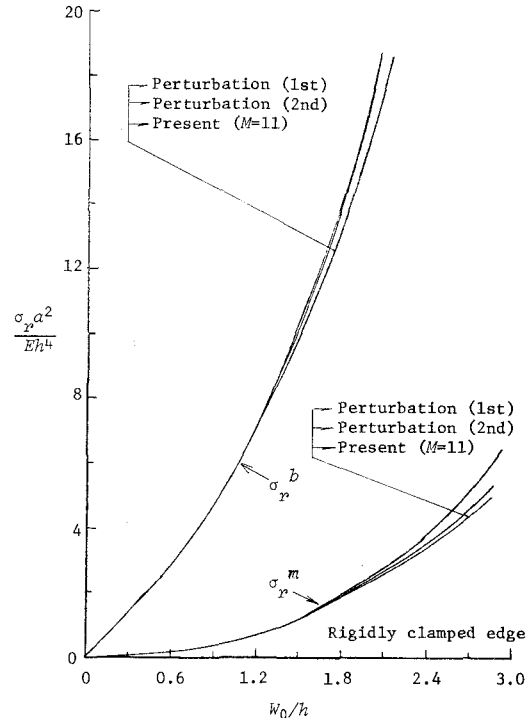


図-2 本解析結果と振動解の比較(板周辺の  $\alpha$ )

て Berger 理論の妥当性について調べたものである。得られた主な成果をまとめると以下のような。

(1) 提示した手法は、比較的少ない自由度で高精度の解析が可能である。

(2) Berger 理論に用いられる第1不変量の仮定は可動端子より荷重強度が大きい場合には成立しない。

### 参考文献

- 1) H.M. Berger, A new approach to the analysis of large deflections of plates, ASME J. Appl. Mech., Vol. 22, pp. 465~472, 1955.
- 2) C.Y. Chia, Nonlinear Analysis of Plates, McGRAW-HILL, 1980.
- 3) 三上 隆・芳村仁, 墓点法による回転板の固有振動数の解析, 土木学会論文報告集, 第335号, pp. 69~78, 1983.
- 4) J.L. Nowinski and H. Ohnabe, On certain inconsistencies in Berger equations for large deflections of elastic plates, Int. J. Mech. Sci., Vol. 14, pp. 165~170, 1972.

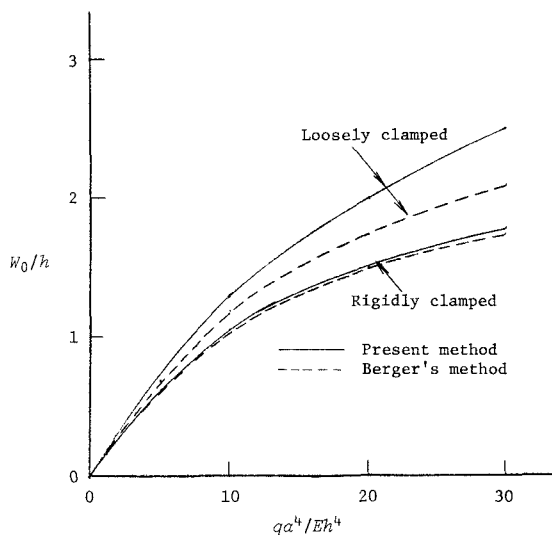


図-3 本計算値と Berger の解の比較

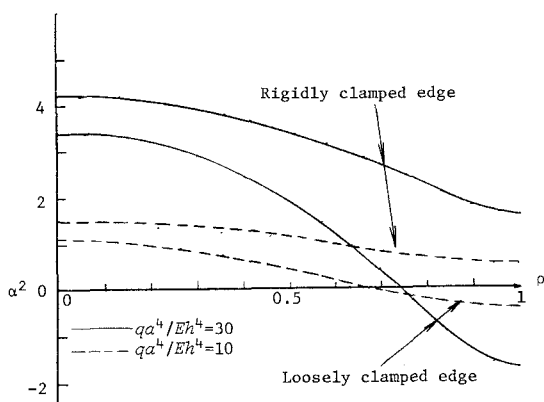


図-4 R.C. と L.C. 条件に対する Berger 理論の第1不変量の分布状況

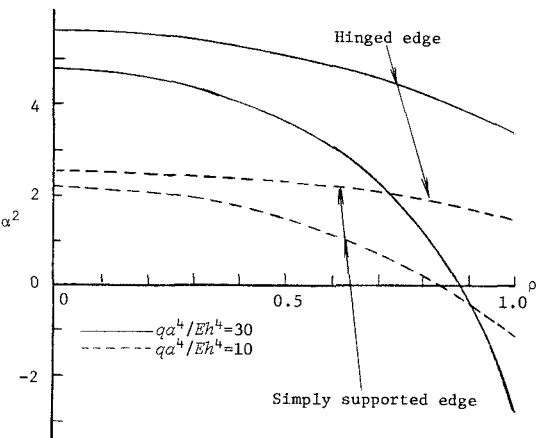


図-5 H.H. と S.S. 条件に対する Berger 理論の第1不変量の分布状況